爆破き裂制御のための装薬ホルダーの有効性に関する研究

中村裕一*, 山本雅昭**, 松永博文**

爆破き裂の方向制御と爆破エネルギーの利用効率の向上を行うために先に提案したくさび形空洞を有する装薬ホルダーを使用する方法についてモデル爆破実験を行い、その有効性を検討した。くさび形空洞を有する装薬ホルダーの特徴は動的作用としての爆発衝撃波の集中効果を作り出すことにあり、装薬孔の孔壁に作用する爆力の作用方向および作用時間の制御が可能になる。本研究では、レーザーシャドウグラフ法による爆破現象の可視化写真観察を行い、装薬ホルダーによって生じる応力波の挙動を明らかにした。また、鉛供試体とモルタル供試体を用いたモデル爆破実験によって装薬ホルダーが作り出す爆破効果を明らかにし、き裂形成位置と進展方向の制御、装薬孔の孔壁の損傷防止、破断作用の向上などにおいて本方法が有効であることを示した。

1. 緒 営

地下空洞開発やコンクリート構造物の爆破解体の具 体化にともなって効率的な制御爆破工法の必要性が高 まっている" -6。特に,精度の高いき裂の方向制御が 可能な爆破工法を確立することが重要である。理想的 なき裂制御爆破工法では、き裂による破断面の数の制 御、き裂の位置と進展方向の制御、き裂の進展を効率 的にする爆力の制御などが満足されなければならない "。このため、著者らは爆破現象を解明し、その成果 をもとに爆破き裂制御のための有効な要素技術を確立 するという立場にたって研究を進めてきた8)%。前報 では、新しい着想として、衝撃波の集中効果を作り出 すくさび形空洞を有する装薬ホルダーを使用する方法 を示した。この提案法はデカップリング状態にある 装薬の爆発によって発生する衝撃波と特別に工夫され た幾何形状を有する装薬孔壁面との干渉効果に着目し たものであり、装薬孔の孔壁に作用する爆力の作用方 向と作用時間を制御し、くさび形空洞先端位置の装薬 孔壁面上に引っ張り応力勘を生じさせ、その位置を予

定破断面方向に一致させることによって、き裂の進展 方向を制御することを意図している。

本研究では、爆破現象を可視化写真観察するために 構築したレーザーシャドウグラフシステムを用いて装 薬ホルダーによって生じる応力被の挙動をPMMA供 試体を使用して可視化観察した。また、鉛供試体とモ ルタル供試体を用いたモデル爆破実験を行い、装薬ホ ルダーが作り出す爆破効果を調べた。これらの実験結 果から、き裂形成位置と進展方向の制御、装薬孔の孔 膣の損傷防止、破断作用の向上などに関するくさび形 空洞を有する装薬ホルダーの有効性を考察した。

2. 実験方法

2.1 装薬ホルダーの形状

実験に使用した装薬ホルダーの形状をFig. 1 に示す。くさび形空洞を有する装薬ホルダー(Type IIー1.II-2)は、丸綱を機械加工して作製された図に示す部品を組み合わせて構成され、同一直怪上に適当な角度を有するくさび形空洞(空気のギャップ)を形成する。デカップリング状態で装てんされた爆薬の起域によって生じた衝撃波は、くさび形空洞内を干渉しながらくさび先端に向かって伝ばし、衝撃波の集中ウ効果を作り出す。これにより、装薬孔の孔壁に作用する場力の作用方向と作用時間の制御が可能となり、くさび形空洞先端位置の装薬孔壁面上に引張応力場が形成され、その位置を予定破断面方向に一致させることによってき裂の進展方向を制御することを意図している。き裂がくさび先端に形成された後、爆発にともなう生

¹⁹⁹⁴年12月7日受理

^{*}八代工業高等専門学校 〒866 熊本県八代市平山新町2627 TEL 0965-35-1611 内線255 FAX 0965-33-0616

^{**}旭化成工菜株式会社化薬販売第一部 〒100 東京都千代田区内幸町1-1-1 TEL 03-3507-7812 FAX 03-3507-2670

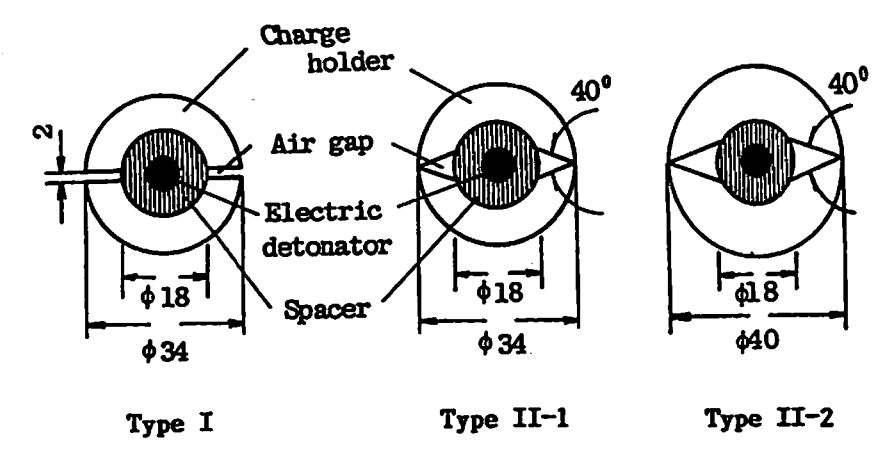


Fig. 1 Geometry of charge holders.

成ガスの作用によりき裂の進展が促進される。また、デカップリング効果およびホルダーの補強効果により、装薬孔壁面の損傷防止が可能であり、爆発ガスの予定 破断面以外への噴き出しをなくすことによって破断作用の向上と騒音の低減化も実現できる。このことは、爆薬の有する爆破エネルギーの利用効率を高めることを意味し、装薬量を少なくすることが出来る。Type II-1、II-2は、ホルダーの外径とくさび形空洞の体積が異なっている。Type Iは従来の方法を踏毀したもので、応力集中効果のみを作り出すことを意図している。ホルダーの長さはすべて70㎜である。

2.2 鉛供試体及びモルタル供試体の形状と装薬条件

装薬には、地震探鉱用電気雷管(6号)を用いた。 装薬ホルダーの内径で定義される装薬のデカップリン グ指数はすべて2.73である。鉛供試体の形状は直径10 cm、高さllcm、装薬孔深さ7cmである。爆破実験後の 鉛供試体の塑性変形等を確認するために、実験前に鉛 供試体上面に水平および垂直方向に1㎝間隔の方限線 をけがいた。鉛供試体の中心部に各装薬ホルダーの外 怪に等しい装薬孔を設け、その中に装薬ホルダーを装 着した後、装薬ホルダーの上部は粘土と速硬性樹脂で タンピングを行った。爆破実験は各々の装薬ホルダー について4回行い、爆破効果の再現性を確認した。ま た、モルタル供試体の形状は45×30×10cm. 装薬孔深 さは6cmである。装薬孔は、各装薬ホルダーの外径に 等しい直径を有する丸鋼をモルタル打設時に供試体中 央部に所定の深さで埋め込み、半硬化後抜き取ること により作製した。鉛供試体を用いた爆破実験と同様に **装薬ホルダー上部は粘土と速硬性樹脂でタンピングを**

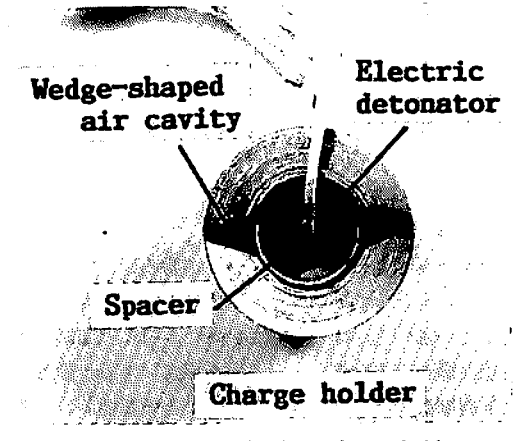


Fig. 2 Photograph of the charge holder. (Type II - 1)

施し、さらには鋼製のふたをかぶせることにより、爆発ガスの噴き出しを防止した。装薬孔底部の損傷を防止するためにスペーサーを装薬ホルダー底部に入れた。Fig. 2 は装薬ホルダーに留管を装着した状態を示している。各タイプの装薬ホルダーについて、爆破実験を9回行い、爆破効果の再現性を確認した。比較検討項目は、予定破断面に沿うき裂の長さと角度、破断状態、孔壁近傍の損傷の有無であり、装薬ホルダーType I との比較を行うことにより、くさび形空洞を有する装薬ホルダーの有効性について考察した。

2.3 レーザーシャドウグラフ法による可視化システム

爆破現象を可視化写真観察するために、Qスイッチルビーレーザーを光源に用いたシャドウグラフシステムを構築した。発光強度の十分な光パルスを効率よく 得るには、Qスイッチの作動をポンピング開始時より 最適遅延時間(使用したレーザー装置では900マイク ロ秒)だけ遅らせる必要がある。本システムでは、現

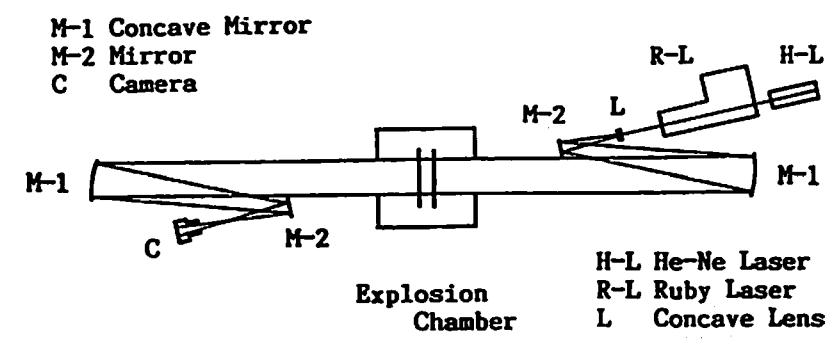


Fig. 3 Optical arrangements of a shadowgraph system.

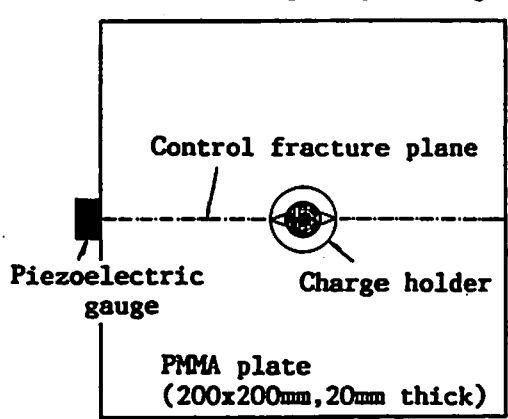


Fig. 4 PMMA plate for optical visualizations of stress waves.

像との同期のために2台の遅延回路と自作した紀爆回 路(充電電圧45V,放電時定数2ミリ秒)を使用した。 遅延回路はデジセットスイッチによって、1マイクロ 秒の精度で遅延時間の設定が可能である。シャドウグ ラフ法は比較的簡単な光学系の配置で応力波(衝撃 波)、爆発ガスやき裂進展などの場の微細構造を知る ことが出来る。そのための光学系の配置をFig. 3に 示す。 2 個の凹面鏡 (焦点距離1.5 m. 有効径15cm) を用いた2面対向法である。これらの光学系は He-Neレーザーによって光軸調整される。レーザー 光はピーム拡散用凹レンズ、補助平面鏡、凹面鏡によ って平行光線となり、観測部を通過する。このとき、 観測部における密度変化によって生じる光の濃淡は、 受光側の凹面鏡、補助平面鏡で集光されたのち、カメ ラのフィルム面上に結像され、シャドウグラフ写真が **松彫される。可視化写真観察のモデル爆破実験には、** Fig. 4に示すPMMA板を使用した。この爆破実験は 銅製爆発容器内で行い、装薬(地震探鉱用電気雷管) の爆発光とレーザーの光パルスはフォトトランジス ターで感知した。これによると使用した電気雷管の起 爆遅れは、約120マイクロ秒であった。また、供試体 の自由面に圧電ゲージを装着し、応力波の到達時刻を 計測した。

3. 実験結果及び考察

3.1 装薬ホルダー周囲の応力波のシャドウグラフ 写真

Fig. 5は、PMMA供試体の中央に装着されたくさ び形空渦を有する装薬ホルダー周囲の応力波の挙動を 示すシャドウグラフ写真である。時間は応力波が写真 の位置から自由面に到達するまでの時間を示している。 写真から左右のくさび形空洞先端を中心とする応力波 が発生し、伝ばすることがわかる。これは装薬ホルダー 内部での衝撃波の動的集中効果によって生じるもので あり、くさび形空洞を有する装薬ホルダーを使用する ことによって、爆発エネルギーの作用方向と作用時間 を制御することが可能であることを示している。予定 破断面方向の応力波の伝ば速度はPMMAの縦波弾性 波速度に近い。また、ホルダーのくさび形空洞先端か ら爆発ガスが噴き出していることがわかる。予定破断 面方向にき裂が形成されると爆発ガスが作用すること によってき裂の進展が促進されることになる。参考の ために、装薬ホルダーを使用しない場合のPMMA供 試体中の応力波のシャドウグラフ写真をFig. 6に示 した。この写真からもわかるように、装薬ホルダーを 使用しない場合は装薬孔を中心とする同心円状に応力 波が伝ばする。なお、Fig. 6の写真の供献体はくさ び形空洞を有する装薬ホルダーによって破断制御され た供試体が再使用されており、予定破断面にそう装薬 孔付近でのき裂の進展状況がわかる。

3.2 鉛供試体及びモルタル供試体を用いたモデル 爆破実験

爆薬の仕事効果を調べるためのTrauzl試験を参考にした鉛供試体を使用して養薬ホルダーが作り出す爆破効果を調べた。Fig. 7 に、実験終了後に撮影した鉛供試体の上面写真を、また、Fig. 8 に装薬孔の変形および損傷状態を確認するための中心線 A - A' に沿り断面写真を示す。爆破実験前にけがかれた方限線の歪みより爆力の作用方向を知ることが出来る。装薬ホ

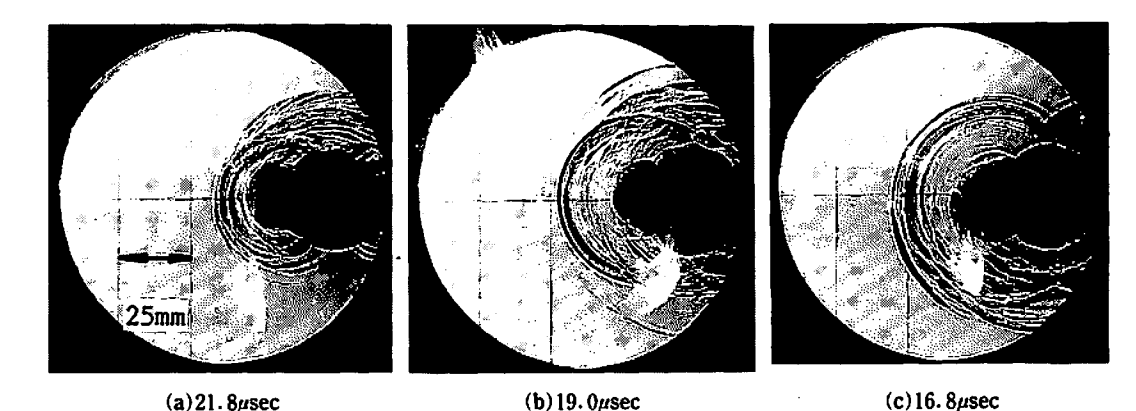


Fig. 5 Shadowgraphs of stress waves in the PMMA plate produced by the charge holder (Type II - 1).

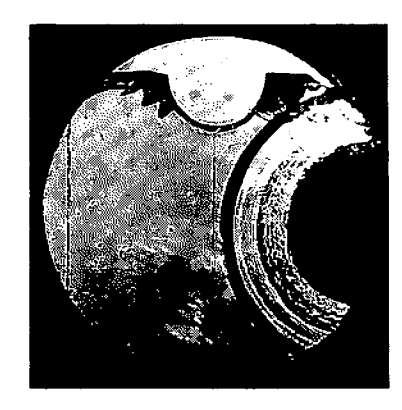


Fig. 6 Shadowgraphs of stress wave in the PMMA plate without the chage holder.

ルダーを使用しない場合、装薬の起爆にともない発生 する衝撃波は同心円状に伝ばし、水平および垂直方向 のけがき線の歪みに方向性は生じない。これに対して、 装薬ホルダーを使用した場合、装薬孔近傍において、 予定破断面に対して垂直方向のけがき線の歪みは小さ いものの、水平方向のけがき線の歪みが大きくなって いることがFig. 7よりわかる。このことは、装薬ホ ルダーを使用することにより、予定破断面方向に沿う き裂を進展させるための爆力の作用方向の制御が可能 であるということを示している。また、その効果はけ がき線の歪みの大きさからType I よりもType II-1, Ⅱ-2の方が大きいことがわかる。この様な変形は、 装薬ホルダー内部での衝撃波と爆発ガスの作用が組み 合わさった仕事効果によるものであるが、装薬ホル ダーの形状の違いによる衝撃波の動的集中効果の差異 は、装薬孔壁面の変形および損傷状態により知ること ができる。Fig. 8 から、予定破断面方向の孔壁面に 装薬孔の深さ方向に沿って損傷もしくはき裂が形成さ れており、その作用効果は、スロットを有するType Iより、くさび形空洞を有する装薬ホルダーType Ⅱ -1, II-2の方が大きいことがわかる。Type II-1. Type II-2によって生じたき裂の最大幅と最大 深さは約5㎜程度である。すなわち、スロットタイプ の場合、それを通して衝撃波の作用が孔壁面におよび にくく、一方、くさび形タイプの場合、衝撃波の集中 効果によってホルダーのくさび形空渦先端が開き、ジ

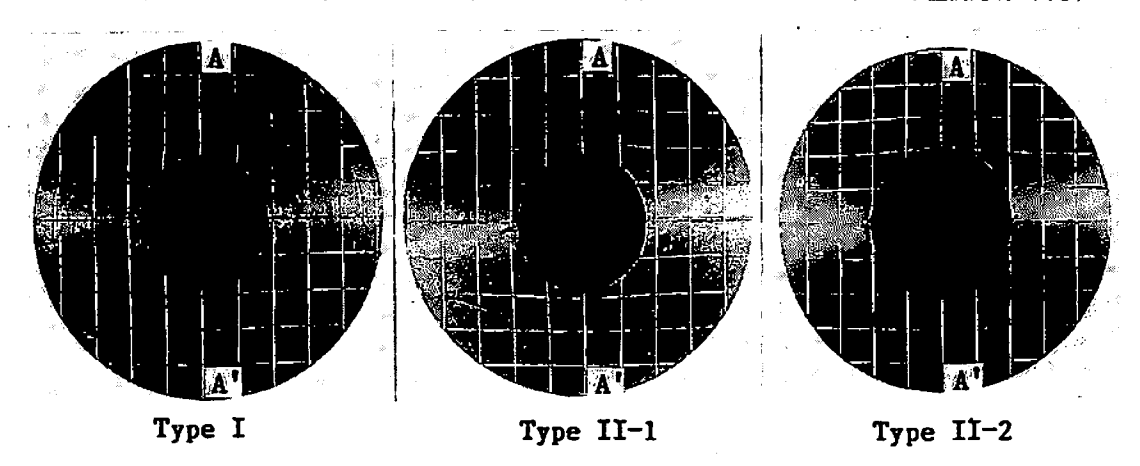
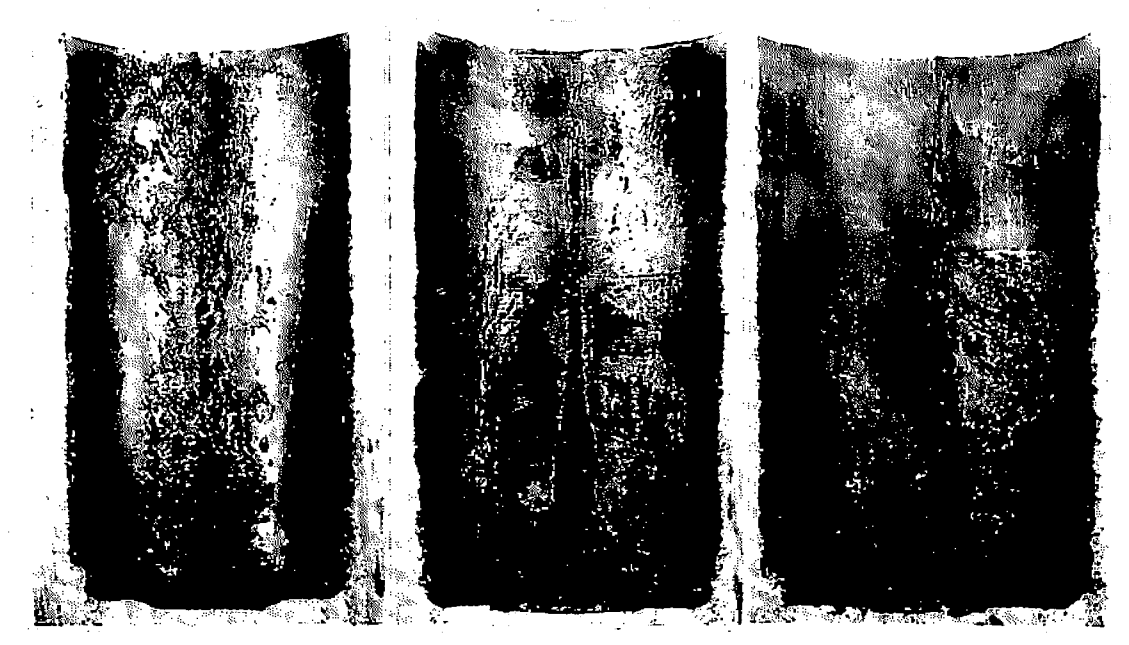


Fig. 7 Top views of the lead speciemens after blasting. The charge holders are used.



Type I

Type II-1

Type II-2

Fig. 8 Sectional views of the lead specimens along the A-A' lines shown in Fig.7.

Table 1 Summary of experimental results (charge holder: Type II - 2).

Exp.NO	Crack length(cm)		Angle of crack propagation		Fracture pattern	Damage near borehole
	A side	B side	A side	B side		borenoie
1	22.5	22.5	3*	0°	controlled	nothing
2	22.5	23.0	3*	5°	controlled	nothing
3	22.5	22.5	2*	l o°	controlled	nothing
4	23.0	23.0	8*	13°	controlled	nothing
5	22.5	i –	0*	<u> </u>	not broken	nothing
6	22.5	-	0*	_	not broken	nothing
7	22.5	23.0	3*	13°	controlled	nothing
8	23.0	22.5	8°	3°	controlled	nothing
9	22.5	23.0	2*	5°	controlled	nothing

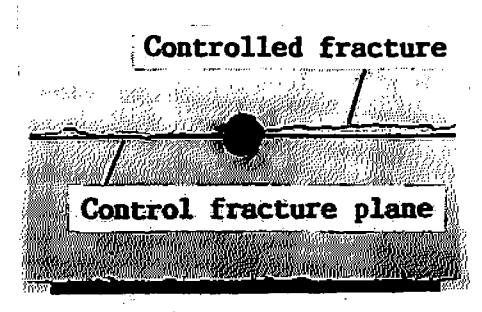
ェット作用が生じるものと考えられる。このことは、 装薬ホルダーのくさび形空洞先端部の変形状態からも 衷付けられている。また、実験前後での装薬孔の体積 変化はType II-1の場合が最大で約22%であり、 Type II-2が最小であった。これはType II-2で のデカップリング体積が最も大きいことに関係してい るものと考えられる。

モルタル供試体を使用した爆破実験では、3種類の 装薬ホルダーの爆破効果の再現性を確認し、予定破断 面に沿うき裂の長さと角度、破断状態、孔壁近傍の損 傷の有無などについて比較考察を行った。

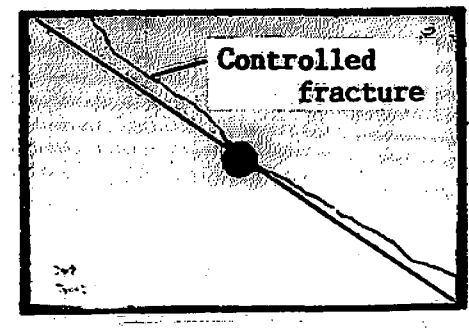
Table 1 は、Type Ⅱ-2を使用した場合の実験結

果をまとめたものである。なお、Type I、I-Iに関する実験結果の詳細は前報。に示されている。Fig. 9に、モルタル供試体のき裂の形成状態の一例を示す。子定破断面方向に沿ってき裂が形成されていることがわかる。

Table 1 からわかるように自由面近傍において反射 応力波の影響"と思われるき裂の予定破断面からのずれが二、三見られるものの、ほとんどの場合において 予定破断面に沿うき裂が形成された。また、Type I の実験結果に見られた装薬孔近傍における損傷は確認 されなかった。Fig. 9 (b)は、予定破断面を対角線 方向にとり、その方向にくさび形空洞先端を一致させ



(a)Type II-2



(b)Type II-1

Fig. 9 Fracture patterns in mortar specimens.

た場合のType II-1による爆破効果の再現性について評価したものである。自由面近傍において、予定破断面からのずれが生じているものの、予定破断面に沿うき裂が形成されることがわかる。破断面の平滑さを評価するために爆破き裂による破断面と予定破断面を予定破断面を予定破断面をでの2方向について求めた。これによるとType II-1では自由面付近でのき裂の予定破断面からのずれによって、その面積にバラッキがあるのに対してType II-2では10cmlから20cmlの範囲になる確率が約50%であった。これはき裂の進展に影響を及ぼす反射応力波の強さに対しているものと考えられる。ちなみに、形成されたき裂が直線的であるとすると自由面でのき裂位置が予定破断面から1cmですれた場合の面積は11.25cmlである。

4. 結 論

爆破き裂制御を行うために考案したくさび形空洞を 有する装薬ホルダーを使用する方法についてモデル爆 破実験を行い、その有効性について考察した。くさび 形空洞を有する装薬ホルダーは、動的作用としての爆 発衝撃波の集中効果を作り出すことを意図しているが、 これによって、くさび形空渦先端を中心とする応力波 が装薬ホルダー周囲に発生し、伝ばすることがシャド ウグラフ法による可視化写真観察によって明らかにな った。また、鉛供試体の塑性変形およびモルタル供試 体のき裂パターンからも予定破断面方向の孔壁面への き裂形成とそれを進展させるための爆力の作用方向の 制御が可能になることが確認された。爆破効果を作り 出す衝撃波と爆発ガスの作用時間にずれがあることを 考え合わせると、これらの実験結果はくさび形空洞を 有する装薬ホルダーによる動的作用としての衝撃波の 集中効果により、予定破断面位置の孔壁面にき裂が形 成された後、爆発ガスの作用により、そのき裂が進展 し、破断面が形成されることを意味している。

铭 樾

本研究を進めるに際して、熊本大学工学部藤田昌大教授、金子勝比古助教授から有益な御助賞を聞いた。また、本研究の費用の一部には文部省科学研究費補助金(試験研究B-(2) 課題番号04555153)を使用した。ここに記して感謝の意を表する。

な 女 放

- 1) 中川浩二, 西田佑, 小野勇司, 川上純: 土木学会 論文集, No. 373, pp. 131-138, 1986-9.
- 2) 橋爪清:施工, pp.58-61, 1989-3.
- 飯屋茂, 川上純, 五十嵐孝文, 中尾健児:工菜火 薬協会誌, Vol. 48, No. 6, pp. 369-377, 1987.
- 4) 勝山邦久, 清川博, 佐々宏一:採鉱と保安, Vol. 29, No. 4, pp. 16-23, 1983.
- 5) 石田毅, 日比野敏:電力中央研究所研究報告U 88032, pp.1-20, 1988.
- 6) 橋本博。高木薫:土木学会誌,pp.57-60, 1979 --9
- W.L. Fourney, J. W. Dally and D. C. Holloway: Int. J. Rock Mech. Min. Sci. and Geomech. Abstr. Vol. 15, pp. 121-129, 1978.
- 8) 中村裕一, 松永博文, 山本雅昭, 住吉和洋: 工架 火薬協会誌 Vol.53, No.1, pp.31-37, 1992.
- 9) 中村裕一:特許庁公開特許公報, pp. 569-572, 1992-6.

The effectiveness of charge holders for blast crack control

by Yuichi NAKAMURA*, Masaaki YAMAMOTO** and Hirofumi MATSUNAGA**

The effectiveness of the charge holders with two wedge-shaped air cavities for blast crack control is studied experimentally. The charge holder produces shock converging effects in a borehole and the shock wave pressure acts effectively on the cavity walls. The tensile stress fields are produced on the borehole wall at the locations of the apexes of cavities and controlled cracks are initiated. The following results were obtained from model experiments using a electric detonator as a charge, PMMA plates for optical visualizations of stress waves, mortar specimens and lead ones for examining blasting effects. The photographs taken by the laser-shadowgraphy show that the stress waves propagate outward from the apexes of two wedge-shaped air cavities along the crack control directions. The blasting effects caused by the actions of shock waves and gases in the charge holders initiate the cracks forming a control fracture plane. The charge holders are effective in eliminating the damage to the borehole wall and in driving the controlled cracks to greater distances.

(*Yatsushiro National College of Technology, 2627 Hirayama-shinmachi, Yatsu-shiro City, Kumamoto 866

^{**}Asahi Chemical Industry Co., Ltd., Explosives Sales Department, 1—1—1 Uchisaiwaicho Chiyoda-Ku, Tokyo 100)